

## 6. Інтерполювання функцій

### 6.1. Постановка задачі інтерполювання

Нехай функція  $f(x) \in C([a, b])$  задана своїми значеннями  $y_i = f(x_i)$ ,  $x_i \in [a, b]$ ,  $i = \overline{0, n}$ , причому  $x_i \neq x_j$  для  $i \neq j$ .

**Означення:** Функція  $\Phi(x)$  називається *інтерполюючою* для  $f(x)$  на сітці  $\{x_i\}_{i=0}^n$ , якщо  $\Phi(x_i) = y_i$ ,  $i = \overline{0, n}$ .

Задача інтерполювання функції має не єдиний розв'язок.

**Означення:** Виберемо систему лінійно незалежних функцій  $\{\varphi_k(x)\}_{k=0}^n$ ,  $\varphi_k(x) \in C([a, b])$  і побудуємо лінійну комбінацію

$$\Phi(x) = \Phi_n(x) = \sum_{k=0}^n c_k \cdot \varphi_k(x), \quad (1)$$

яка називається *узагальненим багаточленом*.

Умови інтерполювання дають СЛАР

$$\sum_{k=0}^n c_k \cdot \varphi_k(x_i) = y_i, \quad i = \overline{1, n} \quad (2)$$

розв'язком якої є  $\vec{c} = (c_0, \dots, c_n)$ .

Якщо

$$D(x_0, \dots, x_n) = \begin{vmatrix} \varphi_0(x_0) & \cdots & \varphi_n(x_0) \\ \vdots & \ddots & \vdots \\ \varphi_0(x_n) & \cdots & \varphi_n(x_n) \end{vmatrix} \neq 0, \quad (3)$$

то система (2) має єдиний розв'язок.

**Означення:** Система функцій  $\{\varphi_k(x)\}_{k=0}^n$  називається *системою Чебишова*, якщо  $\forall \{x_i\}_{i=0}^n$  таких, що  $x_i \in [a, b]$  і  $x_i \neq x_j$  при  $i \neq j$  виконується  $D(x_0, \dots, x_n) \neq 0$ .

**Приклади** систем Чебишова:

1.  $\varphi_k(x) = x^k$  — алгебраїчна система.

Визначник  $D(x_0, \dots, x_n) \neq 0$  є визначником Вандермонда:

$$\begin{aligned} D(x_0, \dots, x_n) &= \begin{vmatrix} 1 & x_0 & \cdots & x_0^n \\ \vdots & \vdots & \ddots & \vdots \\ 1 & x_n & \cdots & x_n^n \end{vmatrix} = \\ &= \prod_{0 \leq k < m \leq n} (x_k - x_m) \neq 0, \end{aligned} \quad (4)$$

2.  $\varphi_k(x) = L_k(x)$  — ортогональні багаточлени Лежандра;

3.  $\varphi_k(x) = T_k(x)$  — ортогональні багаточлени Чебишова.

4.  $\varphi_k(x)$ :  $1, \cos(x), \sin(x), \dots, \cos(nx), \sin(nx)$ .

Тоді

$$\begin{aligned}\Phi_n(x) &= T_n(x) = \\ &= a_0 + \sum_{k=1}^n (a_k \cdot \cos(kx) + b_k \cdot \sin(kx))\end{aligned}\quad (5)$$

— тригонометричний багаточлен.

## 6.2. Інтерполяційна формула Лагранжа

Якщо  $\varphi_k(x) = x^k$ , то

$$\Phi_n(x) = P_n(x) = \sum_{k=0}^n c_k \cdot x^k. \quad (6)$$

Задача інтерполювання функції  $f(x)$  алгебраїчним, багаточленом полягає в знаходженні коефіцієнтів  $c_k$ ,  $k = \overline{0, n}$  для яких виконується умова  $f(x_i) = \varphi(x_i)$ ,  $i = \overline{0, n}$ .

Представимо інтерполяційний багаточлен у вигляді

$$P_n(x) = L_n(x) = \sum_{k=0}^n f(x_k) \cdot \Phi_k^{(n)}(x). \quad (7)$$

**Означення:** Тут  $L_n(x)$  — інтерполяційний поліном,  $\Phi_k^{(n)}(x)$  — поліноми  $n$ -го степеня, які називають множниками Лагранжа.

З умови  $L_n(x_i) = f(x_i)$  випливає, що множник Лагранжа повинен задовольняти умови

$$\Phi_k^{(n)}(x_i) = \delta_{i,k}. \quad (8)$$

Оскільки  $\Phi_k^{(n)}(x)$  — багаточлен степеня  $n$ , то він має вигляд

$$\Phi_k^{(n)}(x) = A_k(x - x_0) \dots (x - x_{k-1})(x - x_{k+1}) \dots (x - x_n), \quad (9)$$

де  $A_k$  — число.

Знайдемо його з умови  $\Phi_k^{(n)}(x_k) = 1$ :

$$A_k = \frac{1}{(x_k - x_0) \dots (x_k - x_{k-1})(x_k - x_{k+1}) \dots (x_k - x_n)}. \quad (10)$$

Таким чином багаточлен  $\Phi_k^{(n)}(x)$  мають вигляд:

$$\Phi_k^{(n)}(x) = \frac{(x - x_0) \dots (x - x_{k-1})(x - x_{k+1}) \dots (x - x_n)}{(x_k - x_0) \dots (x_k - x_{k-1})(x_k - x_{k+1}) \dots (x_k - x_n)} \quad (11)$$

Позначивши

$$\omega_n(x) = \prod_{i=0}^n (x - x_i), \quad (12)$$

маємо

$$\Phi_k^{(n)}(x) = \frac{\omega_n(x)}{(x - x_k) \cdot \omega'_n(x_k)}. \quad (13)$$

Остаточно формула Лагранжа має вигляд

$$L_n(x) = \sum_{k=0}^n f(x_k) \cdot \frac{\omega_n(x)}{(x - x_k) \cdot \omega'_n(x_k)} \quad (14)$$

### 6.3. Залишковий член інтерполяційного полінома

В заданих точках (точки інтерполявання) значення функції та полінома співпадають, але в інших точках в загальному випадку не співпадають. Отже доцільно розглянути питання про похибку інтерполявання.

**Означення:** Заміняючи функцію  $f(x)$  на  $L_n(x)$  ми допускаємо похибку  $r_n(x) = f(x) - L_n(x)$ . Це *залишковий член* інтерполявання.

З означення випливає, що,  $r_n(x_i) = 0$ ,  $x_i \in [a, b]$ . Оцінимо похибку у кожній точці  $x \in [a, b]$ . Введемо допоміжну функцію:

$$g(t) = f(t) - L_n(t) - K \cdot \omega_n(t), \quad (15)$$

де  $t \in [a, b]$ , і  $g(x_i) = 0$  для  $i = \overline{0, n}$ .

Знайдемо таке  $K$ , щоб  $g(x) = 0$ , в деякій точці  $x \in [a, b]$ ,  $x \neq x_i$ ,  $i = \overline{0, n}$ . Легко бачити, що

$$K = \frac{f(x) - L_n(x)}{\omega_n(x)}. \quad (16)$$

Припустимо що  $f(x) \in C^{(n+1)}([a, b])$ , тоді  $g(t) \in C^{(n+1)}([a, b])$ . Функція  $g(t) = 0$  в  $(n+2)$ -х точках, а саме  $t = x$ ,  $t = x_i$ ,  $i = \overline{0, n}$ . З теореми Ролля випливає, що існує  $(n+1)$ -а точка, де  $g'(t_i) = 0$ ,  $i = \overline{0, n}$ . Продовжуючи цей процес, отримуємо, що існує хоча б одна  $\xi \in [a, b]$  така, що  $g^{(n+1)}(\xi) = 0$ . Оскільки

$$g^{(n+1)}(t) = f^{(n+1)} - 0 - K \cdot (n+1)!, \quad (17)$$

то  $\exists \xi$ , що

$$g^{(n+1)}(\xi) = f^{(n+1)}(\xi) - (n+1)! \cdot \frac{f(x) - L_n(x)}{\omega_n(x)} = 0. \quad (18)$$

Звідси

$$r_n(x) = f(x) - L_n(x) = \frac{f^{(n+1)}(\xi)}{(n+1)!} \cdot \omega_n(x). \quad (19)$$

Оскільки  $\xi$  невідомо, то використовують оцінку залишкового члена:

$$|r_n(x)| = |f(x) - L_n(x)| \leq \frac{M_{n+1}}{(n+1)!} \cdot |\omega_n(x)|, \quad (20)$$

де  $M_{n+1} = \sup_{x \in [a, b]} |f^{(n+1)}(x)|$ .

## 6.4. Багаточлени Чебишова. Мінімізація залишкового члена інтерполяційного полінома

Як вибрати вузли інтерполяції щоб похибка інтерполювання була мінімальною? Спочатку обґрунтуємо теоретичний апарат, завдяки якому будемо досліджувати це питання.

**Означення:** Багаточленом Чебишова ( $n$ -того степеня, 1-го роду) називається поліном, який задається такими рекурентними співвідношеннями

$$T_{n+1}(x) - 2x \cdot T_n(x) + T_{n-1}(x) = 0, \quad (21)$$

де початкові значення

$$T_0(x) = 1, \quad T_1(x) = x. \quad (22)$$

Знайдемо явний вигляд багаточлена Чебишова. Будемо шукати розв'язок рівняння (21) у вигляді  $T_n(x) = q^n$ , де  $q = q(x)$ . Підставивши в (21), отримуємо характеристичне рівняння  $q^2 - 2xq + 1 = 0$ . Тоді при  $|x| \geq 1 \implies q_{1,2} = x \pm \sqrt{x^2 - 1}$ , а при  $|x| < 1 \implies q_{1,2} = \cos(\varphi) \pm i \sin(\varphi)$ ,  $\varphi = \arccos(x)$ .

Розглянемо обидва випадки детальніше:

1. при  $|x| \leq 1$ :  $T_n(x) = A \cdot \cos(n\varphi) + B \cdot \sin(n\varphi)$ . З (21) випливає  $A = 1$ ,  $B = 0$  і тому

$$T_n(x) = \cos(n \arccos(x)). \quad (23)$$

2. при  $|x| > 1$ :

$$T_n(x) = \frac{1}{2} \left( \left( x + \sqrt{x^2 - 1} \right)^n + \left( x - \sqrt{x^2 - 1} \right)^n \right). \quad (24)$$

Знайдемо нулі та екстремуми багаточлена Чебишова:  $T_n(x) = 0$ ,  $x \in [-1, 1]$ ,  $\cos(n \arccos(x)) = 0$ ,  $\arccos(x) = \frac{2k+1}{2n} \pi$ ,  $k = \overline{0, n-1}$ .

Отже нулі багаточлена Чебишова:

$$x_k = \cos\left(\frac{(2k+1)\pi}{2n}\right) \in [-1, 1], \quad k = \overline{0, n-1}. \quad (25)$$

Локальні екстремуми багаточлена Чебишова на  $x \in [-1, 1]$ :

$$x'_k = \cos\left(\frac{k\pi}{2n}\right), \quad k = \overline{0, n}. \quad (26)$$

Коефіцієнт при старшому члені багаточлена дорівнює  $2^{n-1}$ .

**Означення:** Введемо нормований багаточлен Чебишова  $\bar{T}_n(x) = 2^{1-n} T_n(x) = x^n + \dots$

Тоді

$$\left| \bar{T}_n \right|_{C([-1,1])} = \max_{x \in [-1,1]} |T_n(x)| = 2^{1-n}. \quad (27)$$

**Означення:** Відхиленням двох функцій  $f(x)$  та  $\Phi(x)$  називається величина

$$\Delta(f, \Phi) = |f(x) - \Phi(x)|_{C([a,b])}. \quad (28)$$

**Теорема (Чебишова):** Серед усіх багаточленів  $n$ -го степеня з коефіцієнтом 1 при старшому степені  $\overline{T}_n(x)$  найменше відхиляється від 0 на  $[-1, 1]$ , тобто

$$\left| \overline{T}_n(x) - 0 \right|_{C([-1,1])} = \inf_{\overline{P}_n(x)} \left| \overline{P}_n(x) \right|_{C([-1,1])} = 2^{1-n}. \quad (29)$$

*Доведення.* Будемо доводити від супротивного: припустимо, що існує багаточлен, такий, що

$$\overline{Q}_n(x) < 2^{1-n}. \quad (30)$$

Тоді  $Q_{n-1}(x) = \overline{T}_n(x) - \overline{Q}_n(x)$  — поліном степеня не вище  $n - 1$  і не рівний тотожно нулю. Дослідимо його знаки:

$$\operatorname{sgn}(Q_{n-1}(x'_k)) = \operatorname{sgn}(\overline{T}_n(x'_k) - \overline{Q}_n(x'_k)) = \operatorname{sgn}(\overline{T}_n(x'_k)) = \alpha \cdot (-1)^k, \quad (31)$$

де  $\alpha = \pm 1$ .

Значить  $\exists z_k, k = \overline{0, n-1}$  таке, що  $Q_{n-1}(z_k) = 0$ . Це протиріччя, бо  $Q_{n-1}(x)$  — поліном степеня  $\leq n - 1$ .  $\square$

Тепер узагальнимо наш багаточлен Чебишова на довільний проміжок. Нагадаємо  $T_n(t) = \cos(n \arccos t)$ ,  $-1 \leq t \leq 1$ . Від змінної  $t \in [-1, 1]$  перейдемо до  $x \in [a, b]$ . Запровадимо заміну

$$t = \frac{2x}{b-a} - \frac{b+a}{b-a}, \quad x = \frac{b+a}{2} + \frac{b-a}{2}t. \quad (32)$$

Тоді

$$T_n^{[a,b]}(t) = \overline{T}_n\left(\frac{2x}{b-a} - \frac{b+a}{b-a}\right) = 2^{1-n} \cos\left(n \arccos\left(\frac{2x - (b+a)}{b-a}\right)\right). \quad (33)$$

Побудований нами багаточлен Чебишова на  $[a, b]$  не є нормованим.

*Нормований багаточлен Чебишова на  $[a, b]$ :*

$$\overline{T}_n^{[a,b]}(x) = \frac{(b-a)^n}{2^{2n-1}} \cos\left(n \arccos\left(\frac{2x - (b+a)}{b-a}\right)\right). \quad (34)$$

Відповідно його нулі

$$x_k = \frac{a+b}{2} - \frac{b-a}{2} \cdot t_k, \quad t_k = \cos\left(\frac{(2k+1)\pi}{2n}\right), \quad (35)$$

де  $k = \overline{0, n-1}$ , а точки екстремуму

$$x'_k = \frac{a+b}{2} - \frac{b-a}{2} \cdot t'_k, \quad t'_k = \cos\left(\frac{k\pi}{n}\right), \quad k = \overline{0, n}. \quad (36)$$

Теорема Чебишова вірна і у випадку  $[a, b]$ . Тепер

$$\left| \overline{T}_n^{[a,b]} \right|_{C([a,b])} = \frac{(b-a)^n}{2^{2n-1}}. \quad (37)$$

Перейдемо до питання мінімізації залишкового члена. Нагадаємо, що

$$|r_n(x)| = |f(x) - L_n(x)| \leq \frac{M_{n+1}}{(n+1)!} \cdot |\omega_n(x)|, \quad (38)$$

$$\text{де } M_{n+1} = \max_{x \in [a,b]} |f^{(n+1)}(x)|, \omega_n(x) = \prod_{i=0}^n (x - x_i) = x^{n+1} + \dots$$

Поставимо задачу

$$\inf_{\bar{P}_n(x)} \max_{x \in [a,b]} |\omega_n(x)|. \quad (39)$$

З теоремою Чебишова  $\omega_n(x) = \bar{T}_{n+1}^{[a,b]}(x)$  поліном Чебишова. Якщо співпадають поліноми, то співпадають їх нулі. Отже:  $x_k$  — вузли інтерполяції співпадають з нулями багаточлена Чебишова

$$x_k = \frac{a+b}{2} - \frac{b-a}{2} \cdot t_k, \quad t_k = \cos\left(\frac{(2k+1)\pi}{2(n+1)}\right), \quad (40)$$

де  $k = \overline{0, n}$ .

В цьому випадку

$$|r_n(x)| = |f(x) - L_n(x)| \leq \frac{M_{n+1}}{(n+1)!} \cdot \frac{(b-a)^{n+1}}{2^{2n+1}}. \quad (41)$$

Цю оцінку не можна покращити! Так для  $f(x) = \bar{P}_{n+1}(x) = x^{n+1} + \dots$  її  $(n+1)$  похідна дорівнює  $(n+1)!$ , тому  $M_{n+1} = (n+1)!$ . Різниця  $f(x) - L_n(x) = \bar{T}_{n+1}^{[a,b]}(x)$ , отже

$$\max_{x \in [a,b]} |f(x) - L_n(x)| = \frac{(b-a)^{n+1}}{2^{2n+1}}. \quad (42)$$

## 6.5. Розділені різниці

Розділені різниці є аналогом похідної для функції, що задана таблицею.

**Означення:** Розділеною різницею 1-го порядку для функції  $f(x)$  називатимемо

$$f(x_i; x_j) = \frac{f(x_i) - f(x_j)}{x_i - x_j}. \quad (43)$$

Розділеною різницею 2-го порядку для функції  $f(x)$  називатимемо

$$f(x_i; x_j; x_k) = \frac{f(x_i; x_j) - f(x_j; x_k)}{x_i - x_k}. \quad (44)$$

Аналогічно визначаються розділені різниці довільного порядку.

Наведемо деякі властивості розділених різниць:

1. 
$$f(x_0; \dots; x_n) = \sum_{i=0}^n \frac{f(x_i)}{\prod_{i \neq j} (x_i - x_j)}. \quad (45)$$

2. Розділена різниця — лінійний функціонал:

$$(\alpha_1 f_1 + \alpha_2 f_2)(x_0; x_1) = \alpha_1 f_1(x_0; x_1) + \alpha_2 f_2(x_0; x_1). \quad (46)$$

3. Розділена різниця — симетричний функціонал:

$$f(x_1; \dots; x_i; \dots; x_j; \dots; x_n) = f(x_1; \dots; x_j; \dots; x_i; \dots; x_n). \quad (47)$$

$$4. \forall f(x) \in C^{(n)}([a, b]): \exists \xi \in [a, b]: f(x_0; x_1; \dots; x_n) = \frac{f^{(n)}(\xi)}{n!}.$$

**Задача 14:** Довести першу властивість розділених різниць.

Таблиця розділених різниць має вигляд:

$x_i$	$f_i$	р.р.1	р.р.2	...	р.р.n
$x_0$	$f(x_0)$				
		$f(x_0; x_1)$			
$x_1$	$f(x_1)$		$f(x_0; x_1; x_2)$		
		$f(x_1; x_2)$			
$x_2$	$f(x_2)$				
$\vdots$	$\vdots$	$\vdots$	$\vdots$	$\vdots$	
...	...	...	...	...	$f(x_0; \dots; x_n)$
$\vdots$	$\vdots$	$\vdots$	$\vdots$	$\vdots$	
$x_{n-2}$	$f(x_{n-2})$				
		$f(x_{n-2}; x_{n-1})$			
$x_{n-1}$	$f(x_{n-1})$		$f(x_{n-2}; x_{n-1}; x_n)$		
		$f(x_{n-1}; x_n)$			
$x_n$	$f(x_n)$				

## 6.6. Інтерполяційна формула Ньютона

Запишемо формулу Лагранжа інтерполяційного багаточлена

$$L_n(x) = \sum_{i=0}^n f(x_i) \cdot \frac{\omega_n(x)}{(x - x_i) \cdot \omega'_n(x_i)}, \quad (48)$$

$$\text{де } \omega_n(x) = \prod_{j=0}^n (x - x_j).$$

Позначимо  $\Phi_j(x) = L_j(x) - L_{j-1}(x)$ . Тоді, оскільки

$$L_n(x) = L_0(x) + (L_1(x) - L_0(x)) + \dots + (L_n(x) - L_{n-1}(x)), \quad (49)$$

i

$$L_j(x_i) = L_{j-1}(x_i) = f(x_i), \quad i = \overline{0, j-1}, \quad (50)$$

то

$$\Phi_j(x_i) = A_j \cdot (x - x_0) \cdot \dots \cdot (x - x_{j-1}), \quad (51)$$

де  $A_j$  визначається з умови  $\Phi_j(x_j) = L_j(x_j) - L_{j-1}(x_j) = f(x_j) - L_{j-1}(x_j)$ . Звідси

$$\Phi_j(x) = \frac{f(x_j) - L_{j-1}(x_j)}{(x_j - x_0) \dots (x_j - x_{j-1})} \cdot (x - x_0) \dots (x - x_{j-1}). \quad (52)$$

Тоді

$$\begin{aligned} A_j &= \frac{f(x_j) - L_{j-1}(x_j)}{(x_j - x_0) \dots (x_j - x_{j-1})} = \frac{f(x_j)}{(x_j - x_0) \dots (x_j - x_{j-1})} - \\ &\quad - \sum_{i=0}^{j-1} \frac{f(x_i)}{(x_i - x_0) \dots (x_i - x_{i-1})(x_i - x_{i+1}) \dots (x_j - x_i)} = \\ &= \frac{f(x_j)}{(x_j - x_0) \dots (x_j - x_{j-1})} + \sum_{i=0}^{j-1} \frac{f(x_i)}{(x_i - x_0) \dots (x_i - x_j)} = \\ &= \sum_{i=0}^j \frac{f(x_i)}{(x_i - x_0) \dots (x_i - x_{i-1})(x_i - x_{i+1}) \dots (x_i - x_j)} = f(x_0; \dots; x_j). \end{aligned} \quad (53)$$

Звідси маємо інтерполяційну формулу Ньютона вперед ( $x_0 \rightarrow x_n$ ):

$$L_n(x) = f(x_0) + f(x_0; x_1)(x - x_0) + \dots + f(x_0; \dots; x_n)(x - x_0) \dots (x - x_{n-1}). \quad (54)$$

Аналогічно, інтерполяційна формула Ньютона назад ( $x_n \rightarrow x_0$ ):

$$L_n(x) = f(x_n) + f(x_n; x_{n-1})(x - x_n) + \dots + f(x_n; \dots; x_0)(x - x_n) \dots (x - x_1). \quad (55)$$

Маємо рекурсію за степенем багаточлена

$$L_n(x) = L_{n-1}(x) + f(x_0; \dots; x_n)(x - x_0) \dots (x - x_1). \quad (56)$$

Звідси

$$L_n(x) = f(x_0) + (x - x_0)(f(x_0; x_1) + (x - x_1)(\dots + (x - x_{n-1})f(x_0; x_1; \dots; x_n) \dots)) \quad (57)$$

і цю формулу розкриваємо починаючи з середини (це аналог схеми Горнера обчислення значення багаточлена).

Введемо нову формулу для похибки інтерполювання. Для  $x \neq x_i, i = \overline{0, n}$  розглянемо розділену різницю

$$f(x; x_0; \dots; x_n) = \frac{f(x)}{(x - x_0) \dots (x - x_n)} + \sum_{k=0}^n \frac{f(x_k)}{\prod_{i \neq k} (x - x_i)}. \quad (58)$$

Звідси

$$\begin{aligned} f(x) &= f(x_0) \cdot \frac{(x - x_1) \dots (x - x_n)}{(x_0 - x_1) \dots (x_0 - x_n)} + \dots + f(x_n) \cdot \frac{(x - x_1) \dots (x - x_{n-1})}{(x_n - x_1) \dots (x_n - x_{n-1})} + \\ &\quad + f(x; x_0; \dots; x_n)(x - x_0) \dots (x - x_n) = L_n(x) + f(x; x_0; \dots; x_n) \cdot \omega_n(x). \end{aligned} \quad (59)$$

Тоді похибка має вигляд

$$r_n(x) = f(x) - L_n(x) = f(x; x_0; \dots; x_n) \cdot \omega_n(x). \quad (60)$$

Це нова форма для залишкового члена.

Порівнюючи з формулою залишкового члена в пункті 6.3, маємо



$$f(x; x_0; \dots; x_n) = \frac{f^{(n+1)}(\xi)}{(n+1)!}, \quad (61)$$

що доводить останню властивість розділених різниць.

Нехай маємо сітку рівновіддалених вузлів:  $x_i = a + ih$ ,  $h = \frac{b-a}{n}$ ,  $i = \overline{0, n}$ ,  $x_0 = a$ ,  $x_n = b$ . Розначимо  $\Delta f_0 = f_1 - f_0$ ,  $\Delta^2 f_0 = \Delta f_1 - \Delta f_0 = f_2 - 2f_1 + f_0$ ,  $\dots$  — скінченні різниці.

Запишемо формули Ньютона у нових позначеннях:

$$L_n(x) = L_n(x_0 + th) = f_0 + t\Delta f_0 + \dots + \frac{t(t-1)\dots(t-n+1)}{n!} \cdot \Delta^n f_0, \quad (62)$$

де  $t = \frac{x-x_0}{h}$ .

Це інтерполяційна формула Ньютона вперед по рівновіддалених вузлах.

**Задача 15:** Побудувати інтерполяційну формулу Ньютона назад по рівновіддалених вузлах.

## 6.7. Інтерполювання з кратними вузлами

Нехай  $f(x)$  задана таблицею значень  $f^{(j)}(x_i)$ ,  $i = \overline{0, n}$ ,  $j = \overline{0, k_i - 1}$ ,  $k_i$  — кратності відповідних вузлів. Побудуємо  $H_m^{(i)}(x_j) = f^{(i)}(x_j)$  — інтерполяційний багаточлен Ерміта по кратним вузлах, де

$$m = \sum_{i=1}^n k_i - 1. \quad (63)$$

Якщо  $k_i = 1$ , то  $H_m(x) = L_n(x)$ .

Для побудови  $H_m(x)$  в загальному випадку для кожної точки  $x_i$  введемо  $k_i$  точок  $x_{i,j}^\varepsilon = x_i + j\varepsilon$ ,  $i = \overline{0, n}$ ,  $j = \overline{0, k_i - 1}$ . З умови  $\forall i: x_{i,k_i-1}^\varepsilon = x_i + \varepsilon(k_i - 1) < x_{i+1}$  можна вибрати  $\varepsilon$ .

Нехай  $f(x) \in C^{(m)}([a, b])$ . Запишемо інтерполяційну формулу Ньютона:

$$\begin{aligned} L_m^\varepsilon = & f(x_{0,0}^\varepsilon) + f(x_{0,0}^\varepsilon; x_{0,1}^\varepsilon) (x - x_{0,0}^\varepsilon) + \dots \\ & + f(x_{0,0}^\varepsilon; \dots; x_{n,k_n-1}^\varepsilon) (x - x_{0,0}^\varepsilon) \dots (x - x_{n,k_n-1}^\varepsilon). \end{aligned} \quad (64)$$

При  $\varepsilon \rightarrow 0$  маємо  $x_{i,j}^\varepsilon \rightarrow x_i$ . Крім того

$$f(x_{i,0}^\varepsilon; \dots; x_{i,k_i-1}^\varepsilon) = f(x_i; \dots; x_i) = \frac{f^{(k_i)}(x_i)}{k_i!}. \quad (65)$$

Тому  $L_m^\varepsilon(x) \rightarrow H_m(x)$  та

$$R_m(x) = f(x) - H_m(x) = \frac{f^{(m+1)}(\xi)}{(m+1)!} \cdot \Omega_m(x), \quad (66)$$

де  $\Omega_m(x) = (x - x_0)^{k_0} \dots (x - x_n)^{k_n}$ .

## 6.8. Збіжність процесу інтерполювання

Виникає питання, чи буде прямувати до нуля похибка інтерполювання  $f(x) - L_n(x)$ , якщо число вузлів  $n$  збільшувати?

Введемо норму

$$|f(x) - L_n|_{C([a,b])} = \max_{x \in [a,b]} |f(x) - L_n(x)|. \quad (67)$$

Тоді для довільної  $f(x) \in C^{(n+1)}([a, b])$  справджується оцінка

$$|f(x) - L_n(x)|_{C([a,b])} \leq \frac{M_{n+1}}{(n+1)!} |\omega_n(x)|_{C([a,b])}, \quad (68)$$

де  $M_{n+1} = \max_{x \in [a,b]} |f^{(n+1)}(x)|$ ,  $\omega_n(x) = \prod_{i=0}^n (x - x_i)$ .

А яка оцінка буде для довільної неперервної функції?

**Означення:** Кажуть, що інтерполяційний процес для функції  $f(x)$  збігається в точці  $x \in [a, b]$ , якщо

$$\forall \{x_i\}_{i=1}^n : h = \max_{i=1,n} \rightarrow 0 : \lim_{n \rightarrow \infty} L_n(x) = f(x), \quad (69)$$

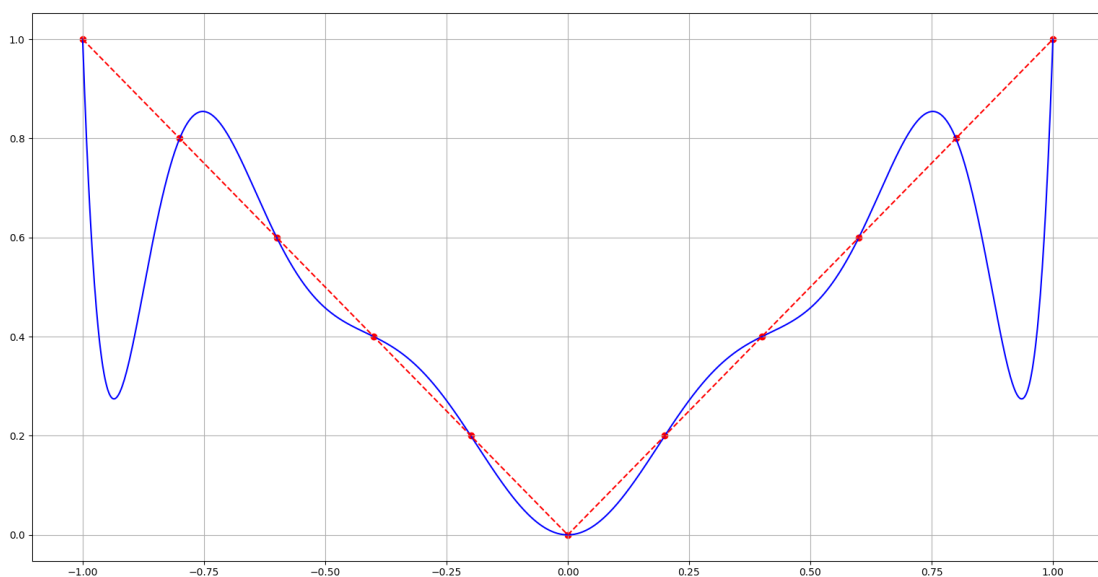
де, як завжди,  $h_i = x_i - x_{i-1}$ .

**Означення:** Якщо  $\|f(x) - L_n(x)\|_{C([a,b])} \xrightarrow{n \rightarrow \infty} 0$ , то інтерполяційний процес збігається рівномірно.

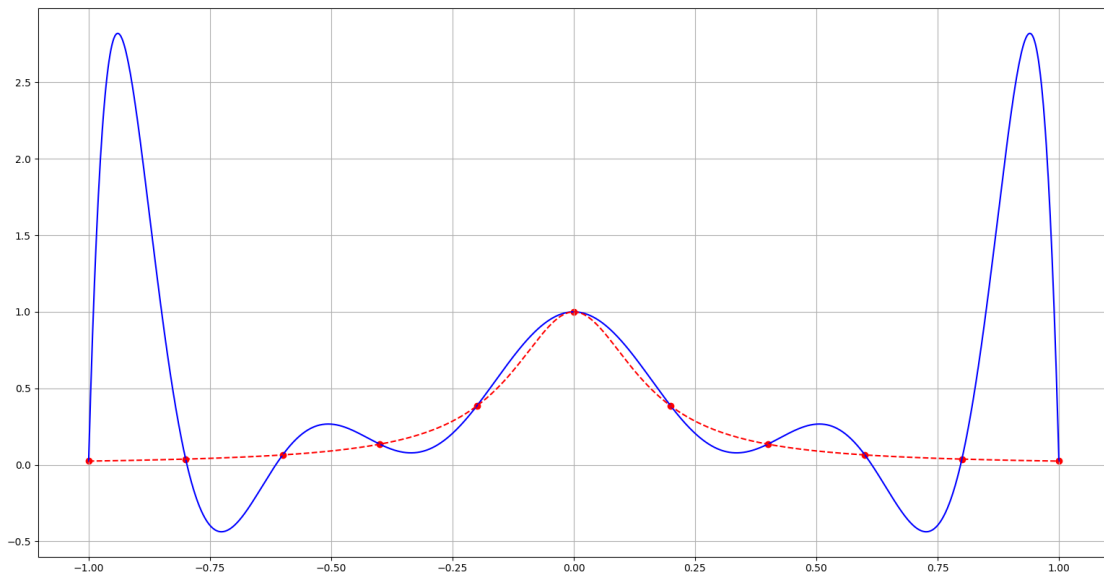
Розглянемо приклади поведінки інтерполяційних багаточленів при  $n \rightarrow \infty$  для деяких функцій.

**Приклад 1:** Послідовність інтерполяційних багаточленів (сітка рівномірна), побудованих для неперервної функції  $f(x) = |x|$ ,  $-1 \leq x \leq 1$  (функція неперервна, але негладка), не збігається на  $x \in [-1, 1]$ , крім точок  $x = -1, 0, 1$ .

На рисунку дано графіки самої функції (штрихова лінія) та інтерполяційного багаточлена (суцільна лінія) на рівномірній сітці  $x_i = -1 + ih$ ,  $h = 2/n$ ,  $i = 0, n$  для  $n = 10$ :

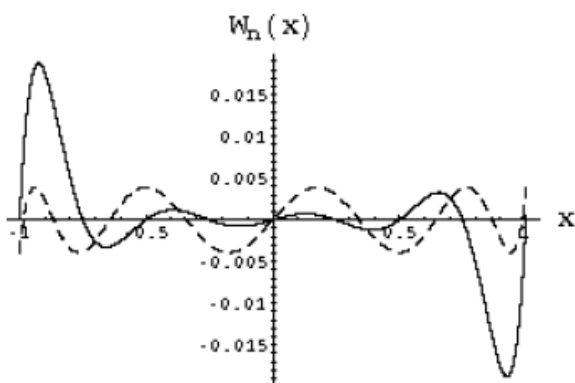


**Приклад 2:** Функція Рунге  $f(x) = \frac{1}{1+40x^2}$ ,  $-1 \leq x \leq 1$  (функція аналітична!). Для рівномірної сітки  $x_i = -1 + ih$ ,  $h = 2/n$ ,  $i = \overline{0, n}$  маємо графіки: суцільна лінія — інтерполяційного багаточлена; пунктирна — самої функції для  $n = 10$ :



Пояснити чому рівномірна сітка дає великі похибки інтерполювання біля кінців інтервалу інтерполювання допомагає наступний рисунок. На цьому рисунку суцільною лінією представлено графік функції

$\omega_n = \prod_{i=0}^n (x - x_i)$  ( $n = 8$ ) для рівномірної сітки. Як бачимо максимальні за модулем значення цієї функції припадають на кінці інтервалу.



Для порівняння на цьому ж рисунку (штрихова лінія) побудовано графік  $\omega_n = \prod_{i=0}^n (x - x_i)$ , що відповідає чебишовським вузлам, які мінімізують похибку інтерполювання. Тепер відхилення  $\omega_n(x)$  розподілено рівномірно по всьому проміжку інтерполювання.

**Теорема (Фабера):**  $\forall \{x_i\}_{i=0}^n$  існує  $f(x) \in C([a, b])$ , для якої інтерполяційний процес не збігається рівномірно.

**Теорема (Марцинкевича):**  $\forall f(x) \in C([a, b])$  існують  $\{x_i\}_{i=0}^n$  такі, що послідовність  $\{L_n(x)\}$  збігається рівномірно до  $f(x)$ .

**Теорема:** Стала Лебега

$$|P_n| = \max_j \sum_{j=0}^n |\varphi_j^{(n)}(x)|, \quad (70)$$

де

$$\varphi_j^{(n)}(x) = \frac{\omega_n(x)}{(x - x_j) \cdot \omega'_n(x_j)}. \quad (71)$$

**Теорема:** Для  $f(x) \in C([a, b])$ :

$$|f(x) - L_n(x)|_{C([a,b])} \leq (1 + |P_n|) \cdot E_n(f), \quad (72)$$

де

$$E_n(f) = \inf_{Q_n(x)} |f(x) - Q_n(x)|_{C([a,b])} \quad (73)$$

— відхилення багаточлена  $n$ -го степеня найкращого рівномірного наближення від  $f(x)$ .

**Теорема:** Нехай  $P_n^E$  — оператор інтерполяції на рівномірній сітці,  $P_n^T$  — оператор інтерполяції на чебишовській сітці. Тоді на  $[-1, 1]$  маємо наближені оцінки:

$$|P_n^E| \approx C_1 \cdot 2^n, \quad |P_n^T| \approx C_2 \cdot \ln(n). \quad (74)$$

Останні оцінки пояснюють розбіжність процесу інтерполювання при великих  $n$ .

## 6.9. Кусково-лінійна інтерполяція

Інтерполяція багаточленом Лагранжа або Ньютона на відрізок  $[a, b]$  з використанням великої кількості вузлів інтерполяції часто приводить до поганого наближення через розбіжність процесу інтерполювання. Для того щоб уникнути великої похибки, весь відрізок  $[a, b]$  розбивають на частинні відрізки  $[x_{i-1}, x_i]$  і на кожному з частинних відрізків замінюють функцію  $f(x)$  багаточленом невисокого степеню. В цьому і полягає кусково-поліноміальна інтерполяція.

Розглянемо найпростішу таку інтерполяцію — лінійну. Нехай задана  $f(x)$  значеннями  $f(x_i)$ ,  $i = \overline{0, n}$ . Побудуємо функцію  $\Phi_1(x)$  — лінійну на  $x \in [x_{i-1}, x_i]$ , що інтерполює ці значення:

$$\Phi_1(x) = L_1^i(x) = f(x_{i-1}) \cdot \frac{x - x_{i-1}}{x_i - x_{i-1}} + f(x_i) \cdot \frac{x_i - x}{x_i - x_{i-1}}, \quad (75)$$

де  $x \in [x_{i-1}, x_i]$ .

Представимо її у вигляді

$$\Phi_1(x) = \sum_{i=0}^n f(x_i) \cdot \varphi_i(x). \quad (76)$$

З умов інтерполювання маємо

$$\Phi_1(x_j) = \sum_{i=0}^n f(x_i) \cdot \varphi_i(x_j) = f(x_j). \quad (77)$$

Звідси

$$\varphi_i(x_j) = \delta_{i,j} = \begin{cases} 1, & i = j \\ 0, & i \neq j \end{cases}. \quad (78)$$

Значить

$$\varphi_i(x) = \begin{cases} 0, & a \leq x \leq x_{i-1} \\ \frac{x-x_{i-1}}{x_i-x_{i-1}}, & x_{i-1} \leq x \leq x_i \\ \frac{x_{i+1}-x}{x_{i+1}-x_i}, & x_i \leq x \leq x_{i+1} \\ 0, & x_{i+1} \leq x \leq b \end{cases} \quad (79)$$

**Теорема:** Для довільної  $f(x) \in C^{(2)}([a, b])$  справедлива оцінка

$$|f(x) - \Phi_1(x)|_{C([a,b])} \leq \frac{M_2}{8} \cdot |h|^2, \quad (80)$$

де  $\Phi_1(x)$  — кусково-лінійна функція, побудована по значеннях  $f(x_i)$ ,  $i = \overline{0, n}$ ,  $|h| = \max_i h_i$ ,  
 $h_i = x_i - x_{i-1}$ .

*Доведення.* Маємо для  $x \in [x_{i-1}, x_i]$ :

$$z(x) = f(x) - \Phi_1(x) = f(x) - L_1^i(x) = \frac{f''(\xi_i)}{2!} \cdot (x - x_{i-1}) \cdot (x - x_i). \quad (81)$$

Звідси

$$|f(x) - \Phi_1(x)| \leq \frac{M_2^i}{2} \cdot |(x - x_{i-1})(x - x_i)| \leq \frac{M_2^i \cdot h_i^2}{8}, \quad (82)$$

де

$$M_2^i = \max_{x \in [x_{i-1}, x_i]} |f''(x)|.$$

Остання оцінка отримана з нерівності

$$\max_{[x_{i-1}, x_i]} |(x - x_{i-1}) \cdot (x - x_i)| = \frac{h_i^2}{4}. \quad (83)$$

Тоді

$$\max_{i=\overline{1, n}} \max_{x \in [x_{i-1}, x_i]} |z(x)| \leq \frac{h^2 M_2}{8}, \quad (84)$$

де  $M_2 = \max_{x \in [a, b]} |f''(x)|$ ,  $h_i = \max_i h_i$ , що доводить (80).  $\square$

**Задача 16:** Довести оцінку  $|f'(x) - \Phi'_1(x)| \leq |h| \cdot M_2$ .

Отже маємо збіжність процесу інтерполявання за допомогою кусково-лінійної функції

$$\left| f(x) - \Phi_1^{(n)}(x) \right|_{C([a,b])} \xrightarrow{h \rightarrow 0, n \rightarrow \infty} 0, \quad (85)$$

тобто

$$\left\{ \Phi_1^{(n)}(x) \right\} \implies f(x). \quad (86)$$

Розглянемо деякі простори:

1.  $H_0 = L_2([a, b])$  — гільбертів простір, в якому скалярний добуток визначається так:

$$\langle u, v \rangle = \int_a^b (u(x) \cdot v(x)) \, dx \quad (87)$$

а норма  $\|u\|_0 = \sqrt{\langle u, u \rangle}$ .

2.  $H_k = W_2^k([a, b])$ . Тепер скалярний добуток

$$\langle u, v \rangle_k = \sum_{m=0}^k \int_a^b (u^{(m)}(x) \cdot v^{(m)}(x)) \, dx, \quad (88)$$

а норма  $\|u\|_k = \sqrt{\|u^{(0)}\|^2 + \dots + \|u^{(k)}\|^2}$ .

**Теорема:** Нехай  $f(x) \in H_2 = W_2^2([a, b])$ . Тоді

$$\left| f^{(k)} - \Phi_1^{(k)} \right|_0 \leq |h|^{2-k} \cdot |f|_2, \quad (89)$$

де  $k = 1, 2$ .

Зауважимо, що кусково-лінійна інтерполяція негладка, тому на практиці застосовують квадратичні, а найчастіше — кубічні поліноми на кожному проміжку.

## 6.10. Кусково-кубічна ермітова інтерполяція

Нехай деяка функція  $f(x)$  задана в точках  $x_i$  своїми значеннями та значеннями похідної:  $y_i = f(x_i)$ ,  $y'_i = f'(x_i)$ ,  $i = 0, n$ . Позначимо через  $\Phi_3(x)$  функцію, яка буде інтерполювати задану. Тоді

$$\Phi_3(x) = H_3^i(x), \quad x \in [x_{i-1}, x_i]. \quad (90)$$

Неважко написати явний вигляд цього багаточлена  $H_3^i(x)$  на проміжку:

$x_i$	$y_i$			
		$y'_i$		
$x_i$	$y_i$		$\frac{y_{i-1,i} - y'_i}{h_i}$	
		$y_{i-1,i}$		$\frac{y'_i - 2y_{i-1,i} + y'_{i-1}}{h_i^2}$
$x_{i-1}$	$y_{i-1}$		$\frac{y'_{i-1} - y_{i-1,i}}{h_i}$	
		$y'_{i-1}$		
$x_{i-1}$	$y_{i-1}$			

$$H_3^i(x) = y_i + y'_i(x - x_i) + \frac{y_{i-1,i} - y'_i}{h_i} \cdot (x - x_i)^2 + \frac{y'_i - 2y_{i-1,i} + y'_{i-1}}{h_i^2} \cdot (x - x_i)^2 \cdot (x - x_{i-1}) \quad (91)$$

Можна представити кусково-кубічну функцію і в такому вигляді:

$$\Phi_3(x) = \sum_{i=0}^n (y_i \cdot \varphi_i^0(x) + y'_i \cdot \varphi_i^1(x)). \quad (92)$$

Умови інтерполявання:  $\Phi_3(x_i) = y_i$ ,  $\Phi'_3(x_i) = y'_i$ ,  $i = \overline{0, n}$ . Якщо ці умови підставити в \u{yiref{eq:6.10.2}}, то отримаємо умови на базисні функції:

$$\varphi_i^0(x_j) = \delta_{i,j}, \quad (93)$$

$$(\varphi_i^0)'(x_j) = 0, \quad (94)$$

$$\varphi_i^1(x_j) = 0, \quad (95)$$

$$(\varphi_i^1)'(x_j) = \delta_{i,j}. \quad (96)$$

для  $i, j = \overline{0, n}$ .

Ці функції кусково-кубічні, тобто  $\varphi_i^k(x) \in \pi_3$ ,  $x \in [x_{i-1}, x_{i+1}]$ ,  $k = 0, 1$  ( $\pi_3$  — множина багаточленів третього степеня), на всіх інших проміжках вони нульові. Нехай  $h_i \equiv h$ , і позначимо  $s = \frac{x - x_i}{h}$ ,  $x \in [x_{i-1}, x_i] \implies s \in [-1, 0]$ .

1. введемо  $\bar{\varphi}_1^0(s) = \varphi_i^0(x)$ ,  $x \in [x_{i-1}, x_{i+1}]$ ,  $x \in [0, 1]$ . Побудуємо цю функцію. Вона задовольняє умовам:

$$\bar{\varphi}_1^0(0) = 1, \quad (97)$$

$$\bar{\varphi}_1^0(1) = 0, \quad (98)$$

$$(\bar{\varphi}_1^0)'(0) = 0, \quad (99)$$

$$(\bar{\varphi}_1^0)'(1) = 0. \quad (100)$$

Її явний вигляд отримаємо за допомогою таблиці розділених різниць:

0	1			
		0		
0	1		-1	
		-1		2
1	0		1	
		0		
1	0			

$$H_3(s) = 1 + 0 \cdot s - 1 \cdot s^2 + 2s^2(s - 1) = 2s^3 - 3s^2 + 1 \equiv \bar{\varphi}_1^0(s). \quad (101)$$

Аналогічно

$$2. \bar{\varphi}_2^0(s) = -2s^3 - 3s^2 + 1, \varphi_i^0(x) = \bar{\varphi}_2^0(s), x \in [x_{i-1}, x_i], s \in [-1, 0];$$

$$3. \bar{\varphi}_1^1(s) = s(s - 1)^2, \varphi_i^1(x) = h\bar{\varphi}_1^1(s), x \in [x_i, x_{i+1}], s \in [0, 1];$$

$$4. \bar{\varphi}_2^1(s) = s(s+1)^2, \varphi_i^0(x) = h\bar{\varphi}_2^1(s), x \in [x_{i-1}, x_i], s \in [-1, 0].$$

А тепер будуюмо явний вигляд функцій  $\varphi_i^k(x)$  для довільного проміжку  $x \in [x_{i-1}, x_{i+1}]$ :

$$\varphi_i^0(x) = \begin{cases} 0, & a \leq x \leq x_{i-1}, \\ -2s^3 - 3s^2 + 1, & x_{i-1} \leq x \leq x_i, \\ 2s^3 - 3s^2 + 1, & x_i \leq x \leq x_{i+1}, \\ 0, & x_{i+1} \leq x \leq b, \end{cases} \quad (102)$$

i

$$\varphi_i^1(x) = \begin{cases} 0, & a \leq x \leq x_{i-1}, \\ hs(s+1)^2, & x_{i-1} \leq x \leq x_i, \\ hs(s-1)^2, & x_i \leq x \leq x_{i+1}, \\ 0, & x_{i+1} \leq x \leq b, \end{cases} \quad (103)$$

де  $s = \frac{x-x_i}{h}$  (якщо сітка нерівномірна, то в формулах замість  $h$ , буде  $h_i$  або  $h_{i+1}$  на відповідних інтервалах).

Оцінимо  $\|f(x) - \Phi_3(x)\|_{C([a,b])}$ . Розглянемо для  $x \in [x_{i-1}, x_i]$ :

$$f(x) - \Phi_3(x) = f(x) - H_3^i(x) = \frac{f^{(4)}(\xi)}{4!} \cdot (x - x_{i-1})^2(x - x_i)^2. \quad (104)$$

Зразу потрібно зробити припущення, що  $f(x) \in C^4([a, b])$ . З тих же міркувань, що і для кусково-лінійної функції, максимум знаходиться в точці  $\bar{x}_i = \frac{x_i + x_{i-1}}{2}$  тому для модуля похибки маємо:

$$|f(x) - \Phi_3(x)| \leq \frac{M_4^i}{24} \left( \frac{h^2}{4} \right)^2 = \frac{M_4^i h^4}{384}, \quad (105)$$

$$|f(x) - \Phi_3(x)|_{C([a,b])} \leq \frac{M_4 h^4}{384}. \quad (106)$$

Звідси отримаємо теорему:

**Теорема:** Якщо функція  $f(x) \in C^4([a, b])$  задана в точках  $x_i$  своїми значеннями  $y_i = f(x_i)$ ,  $y'_i = f'(x_i)$ ,  $i = \overline{0, n}$ , то для кусково-кубічної ермітової інтерполяції

$$\Phi_3(x) = \sum_{i=0}^n \left( y_i \varphi_i^{(0)}(x) + y'_i \varphi_i^{(1)}(x) \right) \quad (107)$$

має місце оцінка

$$|f(x) - \Phi_3(x)|_{C([a,b])} \leq \frac{M_4 h^4}{384}. \quad (108)$$

А для похідної

$$|f'(x) - \Phi'_3(x)|_{C([a,b])} \leq M \cdot M_4 h^3, \quad (109)$$

де  $M$  — стала незалежна від  $h$ .

**Задача 17:** Довести оцінку для  $\|f'(x) - \Phi'_3(x)\|_{C([a,b])}$ .

Порівняємо кусково-лінійну  $\Phi_1(x)$  та кусково-кубічну інтерполяцію  $\Phi_3(x)$ : при згущенні сітки у 2 рази точність лінійної підвищується в 4 рази, а кубічної — у 16 разів, але треба задавати більше даних.



## 6.11. Кубічні інтерполяційні сплайни

Сплайн (spline) в перекладі означає рейка, якою користувалися креслярі при проведенні гладкої кривої, що з'єднувала задані точки на площині.

**Означення:** Функція  $s(x)$  називається *сплайном степеня  $m$  і дефекту  $k$* , якщо

1.  $s(x) \in \pi_m$  (множина поліномів степеня  $m$ ) для  $x \in [x_{i-1}, x_i], i = \overline{1, n}$ .
2.  $s(x) \in C^{(m-k)}([a, b])$ .

**Приклади:**

1.  $\Phi_1(x): m = 1, k = 1;$
2.  $\Phi_3(x): m = 3, k = 2;$

Зараз ми побудуємо сплайн, для якого  $m = 3, k = 1$ .

**Означення:** Функція  $s_3(x) = s(x)$  називається *кубічним інтерполяційним природним сплайном*, якщо

1. Кубічність:

$$s(x) \in \pi_3, \quad x \in [x_{i-1}, x_i], \quad i = \overline{1, n} \quad (110)$$

2. Дефект 1:

$$s(x) \in C^{(2)}([a, b]) \quad (111)$$

3. Інтерполуює  $f(x)$ :

$$s(x_i) = f(x_i), \quad i = \overline{0, n} \quad (112)$$

4. Природній:

$$s''(a) = s''(b) = 0. \quad (113)$$

Умови (113), так звані *умови природності*, необхідні, щоб разом було  $4n$  умов для знаходження  $4n$  коефіцієнтів сплайну. Замість них можуть бути такі умови:

$$s''(a) = A, \quad s''(b) = B \quad (4.a)$$

$$s'(a) = A, \quad s'(b) = B \quad (4.b)$$

$$s(a) = s(b), \quad s'(a) = s'(b), \quad s''(a) = s''(b) \quad (4.c)$$

Умови (4.c) — це так звані умови періодичності.

Побудуємо природний сплайн. З (110) та (111) маємо

$$s''(x) = m_{i-1} \cdot \frac{x_i - x}{h_i} + m_i \cdot \frac{x - x_{i-1}}{h_i}, \quad (114)$$

де  $m_i = s''(x_i)$  і вони є невідомими коефіцієнтами:  $h_i = x_i - x_{i-1}$ .

Двічі інтегруючи (114), маємо

$$s(x) = m_{i-1} \cdot \frac{(x_i - x)^3}{6h_i} + m_i \cdot \frac{(x - x_{i-1})^3}{6h_i} + \left(f_{i-1} - \frac{m_{i-1}h_i^2}{6}\right) \cdot \frac{x_i - x}{h_i} + \left(f_i - \frac{m_i h_i^2}{6}\right) \cdot \frac{x - x_{i-1}}{h_i}, \quad (115)$$

для  $x \in [x_{i-1}, x_i]$ .

З (113) маємо  $m_0 = m_n = 0$ .

Враховуючи, що  $s'(x_i - 0) = s'(x_i + 0)$  отримаємо СЛАР для знаходження всіх  $m_i = s''(x_i)$ :

$$\begin{cases} \frac{h_i m_{i-1}}{6} + \frac{(h_i + h_{i+1})m_i}{3} + \frac{h_{i+1} m_{i+1}}{6} = \\ = \frac{f_{i+1} - f_i}{h_i} - \frac{f_i - f_{i-1}}{h_i}, & i = \overline{1, n-1}, \\ m_0 = m_n = 0. \end{cases} \quad (116)$$

Це тридіагональна СЛАР; її можна розв'язати методом прогонки за  $Q = O(N)$  арифметичних операцій.

**Задача 18:** Написати СЛАР для кубічного інтерполяційного сплайну, якщо  $s'(a) = A$ ,  $s'(b) = B$  та розробити алгоритм її розв'язання (тобто написати формули методу прогонки).

**Теорема:** Нехай  $f(x) \in C^{(4)}([a, b])$ , тоді має місце оцінка

$$|f^{(k)}(x) - s^{(k)}(x)|_{C([a,b])} \leq M_4 |h|^{4-k}, \quad (117)$$

де  $k = 0, 1, 2$  і  $M_4 = \max_{[a,b]} |f^{(4)}(x)|$ ,  $|h| = \max_i h_i$ .

Введемо клас функцій

$$U = \left\{ u(x) : u(x) \in W_2^2([a, b]), u(x_i) = f_i, i = \overline{0, n} \right\} \quad (118)$$

— це функції досить гладкі і приймають задані значення. Якщо ввести такий функціонал

$$\Phi(u) = \int_a^b (u''(x))^2 dx, \quad (119)$$

то

$$\Phi(s) = \inf_{u \in U} \Phi(u), \quad (120)$$

де  $s(x)$  — кубічний природний інтерполяційний сплайн.

Оскільки кривизна графіка кривої  $u(x)$  пропорційна  $u''(x)$ , то це фактично означає, що сплайн має в середньоквадратичному розумінні найменшу кривизну серед всіх функцій  $u(x) \in W_2^2([a, b])$ , що інтерполують значення  $f(x_i)$ .

Для того, щоб не розв'язувати СЛАР (116) інколи будують наближення до сплайну  $\tilde{s}(x)$ , яке отримується заміною  $m_i = s''(x_i)$  на

$$f_{\tilde{x}, \hat{x}, i} \equiv \frac{1}{\bar{h}_i} \left( \frac{f_{i+1} - f_i}{h_{i+1}} - \frac{f_i - f_{i-1}}{h_i} \right) \approx f''(x_i) \approx s''(x_i), \quad (121)$$

де  $\bar{h}_i = \frac{h_i + h_{i+1}}{2}$ , причому  $f''(x_i) - f_{\bar{x}\bar{x},i} = O(|h|^2)$ ; При цьому  $\tilde{s}(x) - s(x) = O(h^4)$ . Відмітимо, що  $\tilde{s}(x)$  не є сплайном дефекту 1.

**Зауваження 1:** Складемо матрицю  $A$  розмірності  $(n-1) \times (n-1)$ :

$$A = \begin{pmatrix} \frac{h_1+h_2}{3} & \frac{h_2}{6} & 0 & \dots & 0 \\ \frac{h_2}{6} & \frac{h_2+h_3}{3} & \frac{h_3}{6} & \ddots & \vdots \\ 0 & \frac{h_3}{6} & \frac{h_3+h_4}{3} & \ddots & 0 \\ \vdots & \ddots & \ddots & \ddots & \ddots \\ 0 & \dots & 0 & \frac{h_{n-1}}{6} & \frac{h_{n-1}+h_n}{3} \end{pmatrix} \quad (122)$$

і матрицю  $H$  розмірності  $(n+1) \times (n-1)$ :

$$H = \begin{pmatrix} \frac{1}{h_1} & -\left(\frac{1}{h_1} + \frac{1}{h_2}\right) & \frac{1}{h_2} & 0 & \dots & 0 \\ 0 & \frac{1}{h_2} & -\left(\frac{1}{h_2} + \frac{1}{h_3}\right) & \frac{1}{h_3} & \ddots & \vdots \\ \vdots & \ddots & \ddots & \ddots & \ddots & 0 \\ 0 & \dots & 0 & \frac{1}{h_{n-1}} & -\left(\frac{1}{h_{n-1}} + \frac{1}{h_n}\right) & \frac{1}{h_n} \end{pmatrix} \quad (123)$$

Тоді можна записати СЛАР (116) відносно моментів  $\vec{m} = (m_1, m_2, \dots, m_{n-1})$  вигляді:

$$A\vec{m} = F\vec{f}, \quad (124)$$

де

$$\vec{f} = (f_0, f_1, \dots, f_n)^T \quad (125)$$

**Зауваження 2:** Нагадаємо формулу для інтерполяційного багаточлена Лагранжа

$$L_n(x) = \sum_{i=0}^n f(x_i) \Phi_i^{(n)}(x), \quad (126)$$

де  $\Phi_i^{(n)}$  — множники Лагранжа. Це представлення інтерполяційного багаточлена Лагранжа по системі функцій  $\{\Phi_i^{(n)}\}$ . Для

$$\Phi_1 = \sum_{i=1}^n f(x_i) \varphi_i(x) \quad (127)$$

маємо представлення по системі кусково-лінійних функцій  $\{\varphi_i(x)\}$ . Для

$$\Phi_3(x) = \sum_{i=1}^n (f(x_i) \varphi_i^0(x) + f'(x_i) (\varphi_i^1)'(x)) \quad (128)$$

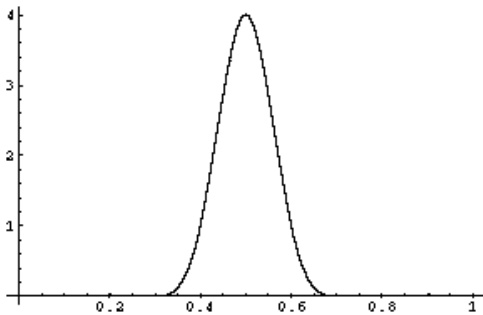
— представлення по системі  $\{\varphi_i^0, (\varphi_i^1)'\}$ .

Аналогічно, якщо представити кубічний сплайн у вигляді

$$s_3(x) = \sum_{i=0}^n c_i B_3^i(x), \quad (129)$$

то відповідна система для кубічного сплайну буде  $\{B_3^i(x)\}_{i=1}^n$ . Тут  $B_3^i(x)$  — так званий кубічний  $B_3$ -сплайн. Формула дається, а графік представлено на рис.:

$$B_3^i(z) = \frac{1}{6h} \begin{cases} \left(\frac{z-x_{i-2}}{h}\right)^3, & z \in [x_{i-2}, x_{i-1}]; \\ -3\left(\frac{z-x_{i-1}}{h}\right)^3 + 3\left(\frac{z-x_{i-1}}{h}\right)^2 + 3\left(\frac{z-x_{i-1}}{h}\right) + 1, & z \in [x_{i-1}, x_i]; \\ -3\left(\frac{x_{i+1}-z}{h}\right)^3 + 3\left(\frac{x_{i+1}-z}{h}\right)^2 + 3\left(\frac{x_{i+1}-z}{h}\right) + 1, & z \in [x_i, x_{i+1}]; \\ \left(\frac{x_{i+2}-z}{h}\right)^3, & z \in [x_{i+1}, x_{i+2}]; \\ 0, & z < x_{i-2} \vee x_{i+2} < z. \end{cases} \quad (130)$$



**Задача 19:** Показати, що  $B_3^i$  є кубічним сплайном дефекту 1.

Для знаходження коефіцієнтів  $c_i$  записується СЛАР з умов інтерполювання.

## 6.12. Параметричні сплайни

На практиці часто виникає задача побудови кривої по заданим точкам  $(x_i, y_i)_{i=1}^n$ . В цьому випадку використовують сплайни. Якщо відповідна функція  $y = f(x)$  однозначна, то сплайн будується за алгоритмом з попереднього пункту.

Окремо розглянемо випадок, коли точки  $(x_i, y_i)_{i=1}^n$  в площині  $(x, y)$  розташовані у довільний спосіб:

В цьому випадку відповідна функція задається параметрично

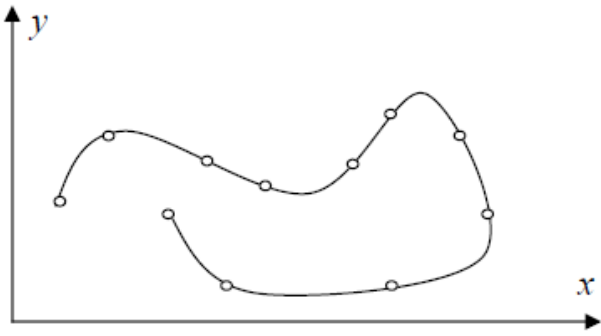
$$x = x(t), \quad y = y(t), \quad t \in [A, B]. \quad (131)$$

Для значень  $x_i, i = \overline{1, n}$  побудуємо кубічний сплайн  $s_x(t)$  такий, що  $s_x(t_i) = x_i, i = \overline{1, n}$ , а для  $y_i, i = \overline{1, n}$  будуємо сплайн  $s_y(t)$ , для якого  $s_y(t_i) = y_i, i = \overline{1, n}$ .

**Означення:** Тоді параметрична функція

$$(s_x(t), s_y(t)), \quad t \in [A, B]. \quad (132)$$

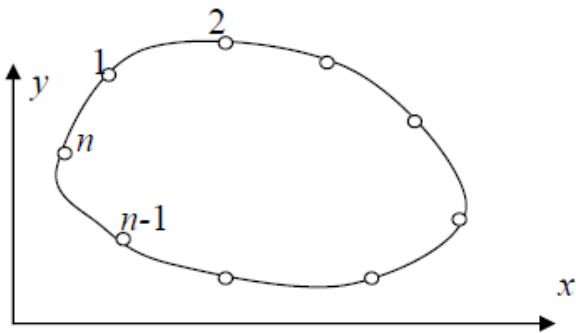
називається *параметричним сплайном* для функції (132).



Стає питання про вибір параметру  $t$ . Нехай  $t_i = i, i = \overline{1, n}$ , тобто для табличних даних  $(x_i, y_i)_{i=1}^n$  параметром виступає номер точки в площині  $(x, y)$ . Тоді для параметричного сплайну неперервний параметр  $t$  змінюється на інтервалі  $t \in [1, n]$ .

Побудова сплайнів  $s_x(t)$  та  $s_y(t)$  здійснюється за алгоритмом наведеним в попередньому пункті по значенням  $f_i = x_i, i = \overline{1, n}$  та  $f_i = y_i, i = \overline{1, n}$ .

Розглянемо тепер побудову замкненої гладкої кривої:



Параметризуємо її як в попередньому випадку. Відмінність полягає в тому, що тепер функції  $x = x(t)$  та  $y = y(t)$  періодичні з періодом  $T = n$ , тобто

$$\forall t: \quad x(t) = x(t + n), \quad y(t) = y(t + n). \quad (133)$$

Наприклад, для значень в точках маємо:

$$x_1 = x_{n+1}, \quad y_1 = y_{n+1}; \quad x_0 = x_n, \quad y_0 = y_n. \quad (134)$$

Побудуємо алгоритм реалізації періодичного параметричного кубічного сплайну. Як і для звичайного сплайну на інтервалі  $t \in [t_i, t_{i+1}]$  маємо:

$$\begin{aligned} s(t) = & \frac{m_{i-1}(t_i - t)^3}{6h_i} + \frac{m_i(t - t_{i-1})^3}{6h_i} + \\ & + \left( f_{i-1} - \frac{m_{i-1}h_i^2}{6} \right) \frac{t_i - t}{h_i} + \\ & + \left( f_i - \frac{m_ih_i^2}{6} \right) \frac{t - t_{i-1}}{h_i}, \end{aligned} \quad (135)$$

де  $s(t)$  — одна з функцій  $s_x(t)$  або  $s_y(t)$ ;  $f_i = x_i, i = \overline{1, n}$  або  $f_i = y_i, i = \overline{1, n}$ ;  $h_i = t_{i+1} - t_i = 1$ . Для знаходження коефіцієнтів сплайну  $m_i = s''(t_i)$  з умови неперервності першої похідної сплайна маємо СЛАР:

$$\begin{cases} \frac{h_i m_{i-1}}{6} + \frac{(h_i + h_{i+1})m_i}{3} + \frac{h_{i+1}m_{i+1}}{6} = \\ = \frac{f_{i+1} - f_i}{h_i} - \frac{f_i - f_{i-1}}{h_i}, \quad i = \overline{1, n}, \\ m_0 = m_n, \quad m_1 = m_{n+1}, \end{cases} \quad (136)$$

Додаткові умови на коефіцієнти  $m_i$  впливають з періодичності сплайну та його других похідних.

Системі (74) відповідає матриця розмірності  $(n \times n)$ :

$$A = \begin{pmatrix} \frac{h_1+h_2}{3} & \frac{h_2}{6} & 0 & \cdots & 0 & \left\langle \frac{h_1}{6} \right\rangle \\ \frac{h_2}{6} & \frac{h_2+h_3}{3} & \frac{h_3}{6} & \ddots & & 0 \\ 0 & \frac{h_3}{6} & \frac{h_3+h_4}{3} & \ddots & \ddots & \vdots \\ \vdots & \ddots & \ddots & \ddots & \ddots & 0 \\ 0 & & \ddots & \ddots & \ddots & \frac{h_n}{6} \\ \left\langle \frac{h_1}{6} \right\rangle & 0 & \cdots & 0 & \frac{h_n}{6} & \frac{h_n+h_1}{3} \end{pmatrix} \quad (137)$$

яка є майже тридіагональною: «заважають» два елементи матриці, що виділені кутовими дужками.

Для розв'язання таких систем застосовують метод циклічної прогонки.

Розглянемо алгоритм цього методу для більш загальної системи:

$$\begin{cases} a_i y_{i-1} - c_i y_i + b_i y_{i+1} = -f_i, \quad i = \overline{1, n}, \\ y_0 = y_n, \quad y_{n+1} = y_1, \quad a_1 = a_n, \quad b_{n+1} = b_1, \end{cases} \quad (138)$$

Формули методу [ЛМС, стор. 391–392]:

1.  $\alpha_2 = b_1/c_1, \beta_2 = f_1/c_1, \gamma_2 = a_1/c_1;$
2.  $z_i = c_i - a_i \alpha_i; \alpha_{i+1} = b_i/z_i; \beta_{i+1} = (f_i + a_i \beta_i)/z_i; \gamma_{i+1} = a_i \gamma_i/z_i, i = \overline{2, n};$
3.  $p_{n-1} = \beta_n; q_{n-1} = \alpha_n + \gamma_n;$
4.  $p_i = \alpha_{i+1} p_{i+1} + \beta_{i+1}; q_i = \alpha_{i+1} q_{i+1} + \gamma_{i+1}, i = \overline{n-2, 1};$
5.  $y_n = (\beta_{n+1} + a_{n+1} p_1)/(1 - \alpha_{n+1} q_1 - \gamma_{n+1});$
6.  $y_i = p_i + y_n q_i, i = \overline{1, n-1}$

Метод стійкий ( $|\alpha_i| < 1, 1 - \alpha_{n+1} \alpha_1 - \gamma_{n+1} \neq 0$ ), якщо  $a_i, b_i > 0, c_i > b_i + a_i$ . Для системи (74) ці умови виконані.

Метод економний, оскільки кількість арифметичних операцій, що витрачається на його реалізацію,  $Q = O(n)$ .

Розглянуті в цьому пункті параметричні сплайни мають хороші апроксимативні та екстремальні властивості, тому побудовані по ним криві добре відновлюють задані як при малій, так досить великій кількості точок інтерполювання

### 6.13. Застосування інтерполювання

1. Складання таблиць. Нехай  $r_1^i(x)$  залишковий член лінійної інтерполяції по двох сусідніх точках  $x_{i-1}, x_i$ :

$$r_1^i(x) = f(x) - L_1^i(x) = \frac{f''(\xi)}{2!} \cdot (x - x_{i-1})(x - x_i). \quad (139)$$

Тоді

$$|r_1^i(x)| \leq \frac{M_2^i}{2} \cdot |(x - x_{i-1})(x - x_i)| \leq \frac{M_2^i h^2}{8}, \quad x \in [x_{i-1}, x_i]. \quad (140)$$

Таким чином

$$|f(x) - L_1^i(x)|_{C([a,b])} \leq \frac{M_2 h^2}{8}. \quad (141)$$

Ця оцінка може бути використана при складанні таблиць функцій, які при відновлення проміжних значень лінійною інтерполяцією сусідніх значень забезпечують точність  $\varepsilon$ .

Для того, щоб похибка була меншою за  $\varepsilon$  потрібно вибрати

$$h \leq \sqrt{\frac{8\varepsilon}{M_2}}. \quad (142)$$

Аналогічно, для квадратичного інтерполювання маємо

$$|f(x) - L_2^i(x)|_{C([a,b])} \leq \frac{M_3 h^3}{9\sqrt{3}} < \varepsilon. \quad (143)$$

Звідси

$$h \leq \sqrt[3]{\frac{9\sqrt{3}\varepsilon}{M_3}}. \quad (144)$$

2. Розв'язування рівнянь. Нехай необхідно розв'язати рівняння

$$f(x) = \bar{y}. \quad (145)$$

При  $\bar{y} = 0$  маємо рівняння  $f(x) = 0$ . Нехай  $\bar{x}$  корінь рівняння (145).

1. Обернене інтерполювання. Якщо відома обернена функція  $x = x(y)$ , то  $\bar{x} = x(\bar{y})$ . Нехай функція  $f(x)$  задана значеннями  $y_i = f(x_i)$ ,  $x_i \in [a, b]$ . Побудуємо інтерполяційний багаточлен  $L_n(y)$  по значеннях  $\{y_i, x_i\}_{i=0}^n$  де  $y_i$  вважаються значеннями аргументу, а  $x_i$  — значеннями оберненої функції. Тоді наближення до кореня є  $x^* = L_n(y)$ .

Оцінимо похибку:

$$|\bar{x} - x^*| = |x(\bar{y}) - L_n(\bar{y})| \leq \frac{M_{n+1}}{(n+1)!} |\omega_n(\bar{y})|, \quad (146)$$

$$\text{де } M_{n+1} = \max_{y_{\min} \leq y \leq y_{\max}} \left| \frac{d^{n+1}}{dy^{n+1}} x(y) \right|, \quad |\omega_n(y)| = (y - y_0) \dots (y - y_n).$$

**Недоліком** методу є складність обчислення похідних старших порядків оберненої функції.

2. Пряме інтерполювання. Нехай знову відомі  $y_i = f(x_i)$ ,  $x_i \in [a, b]$ . Тоді замість рівняння (145) розв'язуємо рівняння

$$L_n(x^*) = y, \quad (147)$$

де  $L_n(x)$  інтерполяційний багаточлен по значенням  $\{x_i, y_i\}_{i=0}^n$ .

**Недоліками** методу є необхідність розв'язування алгебраїчних рівнянь  $n$ -го степеня та необхідність вибирати шуканий розв'язок серед  $n$  коренів багаточлена степеня  $n$ .

Але **позитивним** є те, що функція є все таки алгебраїчною (а саме багаточленом).

Оцінимо похибку такого способу обчислення кореня. Маємо:

$$f(x^*) - L_n(x) = \frac{f^{(n+1)}(\xi)}{(n+1)!} \cdot \omega_n(x). \quad (148)$$

Далі  $f(x^*) - y = f(x^*) - f(\bar{x})$ , звідки

$$|f(x^*) - f(\bar{x})| \leq \frac{M_{n+1}}{(n+1)!} \cdot |\omega_n(x)|. \quad (149)$$

Тут тепер  $M_{n+1} = \max_{x \in [a, b]} |f^{(n+1)}(x)|$ .

За теоремою Лагранжа  $f(x^*) - f(\bar{x}) = f'(\eta)(x^* - \bar{x})$ .

Припустимо, що  $f'(x) \neq 0$ . Це означає, що на проміжку  $[a, b]$  функція  $f(x)$  монотонна. Звідси

$$|x^* - \bar{x}| \leq \frac{|f(x^*) - f(\bar{x})|}{\min_{x \in [a, b]} |f'(x)|} \leq \frac{M_{n+1}}{\min_{x \in [a, b]} |f'(x)|} \cdot \frac{|\omega_n(x)|}{(n+1)!}. \quad (150)$$

### 3. Метод інтерполювання побудови характеристичного багаточлена.

Одним з найпростіших методів побудови характеристичного багаточлена є наступний. Відомо, що багаточлен  $n$ -го степеня однозначно визначається своїми значеннями в  $(n+1)$ -й точці. Тому для побудови  $P_n(\lambda) = \det(A - \lambda E)$  виберемо на проміжку де знаходяться власні значення (наприклад,  $\lambda \in [-\|A\|_k, \|A\|_k]$ , де  $k = 1$  або  $k = \infty$ ) деякі точки  $\lambda_i, i = \overline{0, n}$ . За допомогою методу Гауса для несиметричних матриць або методу квадратних коренів для симетричних матриць обчислимо  $P_n(\lambda_i) = \det(A - \lambda_i E)$  і по цих значення за формулою, наприклад, Ньютона побудуємо інтерполяційний багаточлен, який співпадатиме з характеристичним.

Далі розв'язується рівняння  $P_n(\lambda) = 0$  одним з відомих методів для нелінійного рівняння. Характерно, що часто для цього використовують метод парабол (обернене інтерполювання по трьох точках, або заміна рівняння  $n$ -го степеня в околі кореня на квадратне рівняння за допомогою інтерполяційного багаточлена другого степеня).

Зауважимо, що знаходження власних значень за допомогою характеристичного багаточлена пов'язана з проблемою нестійкості коренів характеристичного багаточлена відносно похибок обчислення коефіцієнтів цього багаточлена. Тому застосовують цей метод для невеликих розмірностей  $n \leq 10$  матриці  $A$ .

## 6.14. Тригонометрична інтерполяція

Інтерполяція відбувається за системою функцій

$$1, \sin(x), \cos(x), \sin(2x), \cos(2x), \dots, \sin(kx), \cos(kx), \dots \quad (151)$$

що є відрізком тригонометричного ряду Фур'є. Щоб знайти  $T_n(x)$  потрібно визначити  $2n+1$  коефіцієнт, а значить задати  $(2n+1)$  значень періодичної з періодом  $2\pi$  функції  $y_i = f_i(x), i = \overline{0, 2n}$ .



Покажемо, що

$$T_n(x) = \sum_{i=0}^{2n} f(x_i) \Phi_i(x), \quad (152)$$

де

$$\Phi_i(x) = \prod_{\substack{j=0 \\ j \neq i}}^{2n} \frac{\sin\left(\frac{x-x_j}{2}\right)}{\sin\left(\frac{x_i-x_j}{2}\right)}, \quad (153)$$

тобто  $T_n(x_k) = f(x_k)$ , та  $\Phi_i(x_k) = \delta_{ik}$ . Дійсно

$$\Phi_i(x_k) = \prod_{\substack{j=0 \\ j \neq i}}^{2n} \frac{\sin\left(\frac{x_k-x_j}{2}\right)}{\sin\left(\frac{x_i-x_j}{2}\right)}, \quad (154)$$

для  $i \neq k$ , а

$$\Phi_i(x_i) = \prod_{\substack{j=0 \\ j \neq i}}^{2n} \frac{\sin\left(\frac{x_i-x_j}{2}\right)}{\sin\left(\frac{x_i-x_j}{2}\right)} = 1. \quad (155)$$

Таким чином за допомогою формули (152) ми уникли необхідності підраховувати коефіцієнти Фур'є  $a_k, b_k$ .

Нехай функція  $f(x)$  є парною та неперервною на проміжку  $[-\pi, \pi]$ . Тоді по значенням в  $(n+1)$ -й точці,  $y_i = f_i(x), i = \overline{0, n}, x_i \in [0, \pi]$  можна побудувати парний тригонометричний багаточлен:

$$T_n(x) = \sum_{i=0}^n f(x_i) \prod_{\substack{j=0 \\ j \neq i}}^n \frac{\cos(x) - \cos(x_i)}{\cos(x_i) - \cos(x_j)}. \quad (156)$$

Якщо ж функція є непарною на проміжку  $[-\pi, \pi]$ , то по значенням в  $n$  точках  $y_i = f_i(x), i = \overline{1, n}, x_i \in [0, \pi]$  можна побудувати непарний інтерполяційний багаточлен:

$$T_n(x) = \sum_{i=1}^n f(x_i) \frac{\sin(x)}{\sin(x_i)} \prod_{\substack{j=1 \\ j \neq i}}^n \frac{\cos(x) - \cos(x_i)}{\cos(x_i) - \cos(x_j)}. \quad (157)$$

**Задача 20:** Показати, що тригонометричні багаточлени (156), (157) є інтерполуючими для функції  $f(x)$ . Яке значення функції інтерполуює (157) при  $x = 0$ ? Чому?

## 6.15. Двовимірна інтерполяція

Побудова багаточлена для функції від двох змінних  $z = f(x, y)$ , що інтерполуює значення  $z_i = f(x_i, y_i)$  в точках  $A_i(x_i, y_i)$ , пов'язана з такими труднощами

1. Якщо в одновимірному випадку кількість вузлів та степінь багаточлена пов'язані простою залежністю:  $n+1$  точка  $x_i$  дозволяють побудувати багаточлен  $n$ -го степеня  $L_n(x)$ , то в двовимірному випадку багаточлен  $n$ -го степеня від двох змінних

$$P_n(x, y) = \sum_{0 \leq k+m \leq n} a_{k,m} x^k y^m, \quad (158)$$

має  $N = \frac{(n+1)(n+2)}{2}$  коефіцієнтів  $a_{k,m}$ . Тому необхідно задати значення в точках  $A_i(x_i, y_i)_{i=1}^N$ .

2. Не всяке розташування вузлів допустиме. Якщо розглянути умови інтерполювання

$$P_n(x_i, y_i) = \sum_{0 \leq k+m \leq n} a_{k,m} x_i^k y_i^m = z_i, \quad (159)$$

то для розв'язності цієї СЛАР необхідно виконання умови  $\det B \neq 0$ , де матриця  $B$  має коефіцієнти:

$\begin{equation}$

$\end{equation}$

Ця умова, наприклад, для лінійної інтерполяції  $n = 1$  та  $N = 3$  вимагає, щоб вузли  $A_i(x_i, y_i)$  не лежали на одній прямій. Якщо  $n = 2$ , то  $N = 6$  і необхідно розглядати точки, які не лежать на деякій кривій другого порядку і т. д.

Розглянемо випадки, коли можна записати багаточлен для двовимірної інтерполяції в явному вигляді.

Нехай область, в якій інтерполюється функція є прямокутником:

$$\bar{\Omega} = (x, y) : 0 \leq x \leq L_1, 0 \leq y \leq L_2. \quad (160)$$

Введемо сітку

$$x_i = ih_x, \quad h_x = L_1/N, \quad i = \overline{0, N}; \quad y_j = jh_y, \quad h_y = L_2/M, \quad j = \overline{0, M} \quad (161)$$

Тоді інтерполяційний багаточлен має вигляд

$$P(x, y) = \sum_{i=0}^N \sum_{j=0}^M f(x_i, y_j) \prod_{\substack{p=0 \\ p \neq i}}^N \prod_{\substack{q=0 \\ q \neq j}}^M \left( \frac{x - x_i}{x_p - x_i} \cdot \frac{y - y_j}{y_q - y_j} \right) \quad (162)$$

Розглянемо випадок, коли  $N = M = 1$ . Тоді

$$\begin{aligned} P_{1,1}(x, y) &= f(x_0, y_0) \cdot \frac{x - x_1}{x_0 - x_1} \cdot \frac{y - y_1}{y_0 - y_1} + f(x_0, y_1) \cdot \frac{x - x_1}{x_0 - x_1} \cdot \frac{y - y_0}{y_1 - y_0} + \\ &+ f(x_1, y_0) \cdot \frac{x - x_0}{x_1 - x_0} \cdot \frac{y - y_1}{y_0 - y_1} + f(x_1, y_1) \cdot \frac{x - x_0}{x_1 - x_0} \cdot \frac{y - y_0}{y_1 - y_0} = \\ &= a_0 + a_1 x + a_2 y + a_{1,2} xy. \end{aligned} \quad (163)$$

Це так звана білінійна інтерполяція, тобто лінійна по кожній окремій змінній.

Формула (162) являє собою приклад інтерполювання на всій області. В одновимірному випадку при великих степенях багаточлена отримують погане наближення через розбіжність процесу інтерполювання. Так ж картина має місце і в двовимірному випадку. Тому найчастіше застосовують кусково-поліноміальну апроксимацію.

Коротко наведемо деякі відомості про кусково-поліноміальне інтерполювання з теорії методу скінчених елементів розв'язання крайових задач для диференціальних рівнянь в частинних похідних.

Нехай область  $\Omega \subset \mathbb{R}^2$  — багатокутник в площині. Представимо її у вигляді

$$\Omega = \bigsqcup_{i=1}^n K_i, \quad (164)$$

де  $K_i \in T_h$ .

**Означення:**  $T_h$  називається «триангуляцією» області  $\Omega$ ,

а  $K_i$  — багатокутники з непорожньою внутрішністю що не мають спільних внутрішніх точок, причому  $\text{diam } K_i \leq h$ , де  $h$  — характеристика щільності розбиття.

Найчастіше  $K_i$  це трикутники або прямокутники.

Нехай  $v \in X$  — функція, яку ми будемо інтерполювати. Позначимо  $X_h$  простір, що апроксимує  $X$ , а його елементи  $c_h \in X_h$ . Причому звуження цієї функції на область  $K_i$ , тобто  $v_h|_{K_i}$  є поліномом.

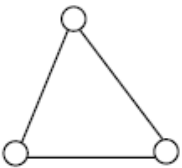
Позначимо  $\Pi_k, k \geq 0$  — простір багаточленів степеня  $k$  по сукупності змінних  $x, y$ ; його розмірність  $\dim \Pi_k = \frac{(k+1)(k+2)}{2}$ . Нехай  $\Theta_k, k \geq 0$  — простір багаточленів степеня по кожній окремії змінній  $x, y$ ; його розмірність  $\dim \Theta_k = (k+1)^2$ .

**Наприклад,**  $P_1(x, y) = a_0 + a_1x + a_2y \in \Pi_1$  — поліном степеня 1 по  $x, y$ , а  $Q_1(x, y) = a_0 + a_1x + a_2y + a_{1,2}xy \in \Theta_1$  лінійна по кожній окремії змінній.

Позначимо через  $X_h^k = \{v_h \in C^0(\Omega) : v_h|_k, \forall k \in T_k\}$  — простір інтерполантів при розбитті області на трикутники, а  $Y_h^k = \{v_h \in C^0(\Omega) : v_h|_k \in \Theta_k, \forall k \in T_h\}$  — при розбитті на прямокутники.

**Приклад 1:** Утворимо  $X_h^1, k = 1$ .

Будуємо багаточлен 1-го степеня по двох змінних. Оскільки  $\dim \Pi_1 = 3$ , то для цього треба задати значення функції в трьох точках. Точки, які задано —  $A_i, i = \overline{1,3}$  вибираємо вершинами трикутника, як на малюнку:



Тоді поліном першого степеня  $z = P_1(x, y)$  є розв'язком такого рівняння відносно  $z$ :

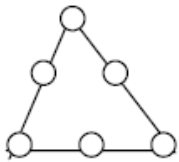
$$\begin{vmatrix} 1 & x & y & z \\ 1 & x_1 & y_1 & z_1 \\ 1 & x_2 & y_2 & z_2 \\ 1 & x_3 & y_3 & z_3 \end{vmatrix} = 0. \quad (165)$$

Тут  $f_i = f(x_i, y_i), i = \overline{1,3}$ .

**Задача 21:** Знайти явний вигляд  $z = P_1(x, y)$  — інтерполяційного багаточлена по значенням в точках  $A_i = (x_i, y_i), i = 1, 2, 3$ .

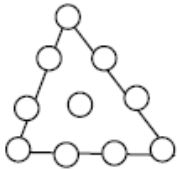
**Приклад 2:** Для  $X_h^2, k = 2, \dim \Pi_2 = 6$ .

Треба задати 6 значень, щоб забезпечити однозначність наближення. Тому вибираємо точки інтерполювання так:



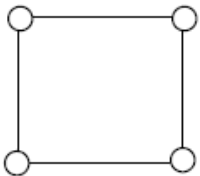
**Приклад 3:**  $X_h^2$ ,  $k = 3$ ,  $\dim \Pi_3 = 10$ .

Потрібно задати 10 точок, як на наступному малюнку:

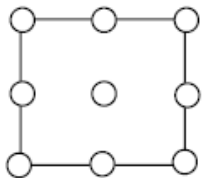


**Приклад 4:**  $Y_h^1$ ,  $k = 1$ ,  $\dim \Theta_1 = 4$ .

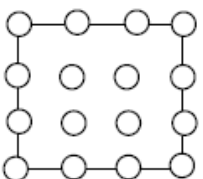
Формула для  $Q_1(x, y)$  наведена в (??). Точки:



**Приклад 5:**  $Y_h^2$ ,  $k = 2$ ,  $\dim \Theta_2 = 9$ .



**Приклад 6:**  $Y_h^3$ ,  $k = 3$ ,  $\dim \Theta_4 = 16$ .



Нехай  $X = W_2^m(\Omega) = H^m(\Omega)$  — це простір з нормою

$$\|v\|_m^2 = \sum_{k=0}^m \|v_k\|^2, \quad (166)$$

де

$$|v_k|^2 = \int_{\Omega} (D^m v)^2 d\Omega = \int_{\Omega} \left( (D_{x^k}^k)^2 + (D_{x^{k-1}y}^k)^2 + \dots + (D_{y^k}^k)^2 \right) d\Omega \quad (167)$$

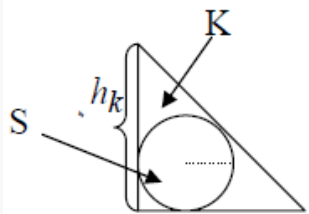
$$D_{x^k}^k v = \frac{\partial^k v}{\partial x^k}; \quad D_{x^{k-1}y}^k v = \frac{\partial^k v}{\partial x^{k-1} \partial y}; \quad \dots \quad (168)$$

Якщо  $\|v\|_m \leq M < \infty$ , то  $v \in W_2^m(\Omega)$ , класу функцій інтегрованих з квадратом до  $m$ -ї похідної.

Розглянемо розбиття на трикутники. Накладемо обмеження на них.

**Означення:** Розбиття  $T_h$  називається *регулярним*, якщо  $\exists \sigma \geq 1$  таке, що

$$\max_{k \in T_h} \frac{h_k}{\rho_k} \leq \sigma, \quad h_k = \text{diam } K, \quad S \subset K, \quad \rho_k = \mu(S): \quad (169)$$



Якщо  $h_k/\rho_k \gg 1$ , то  $K$  вироджується в пряму і це погано.

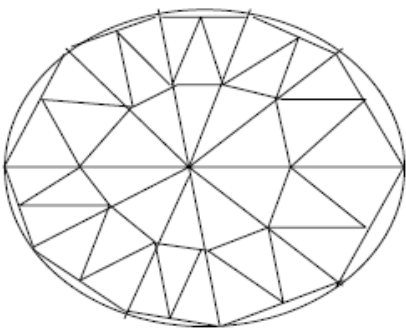
**Теорема:** Нехай  $v \in W_2^{l+1}(\Omega)$ ,  $1 \leq l \leq k$ ,  $T_h$  — регулярна триангуляція  $v_h \in X_h = \{v_h : v_h|_K = P_k\}$ . Тоді

$$|v - v_h|_m \leq Ch^{l+1-m} |v|_{l+1}, \quad m = 0, 1, \quad k \geq 1. \quad (170)$$

**Наприклад:** для  $k = 1, m = 0: l = 1, \|v - v_h\|_{L_2(\Omega)} = \|v - v_h\|_0 \leq Ch^2 |v|_2$ . Якщо ж  $k = 3, l = 3$ , то  $\|v - v_h\|_0 \leq h^4 |v|_4$ .

Ця теорема дозволяє стверджувати збіжність процесу інтерполювання. І чим більше степінь полінома на кожному елементі тим вища швидкість збіжності.

Узагальнимо результат теореми на область з гладкою границею:



Для цього вибираємо точки на границі і будуємо вписаний багатогранник. Його триангулюємо. Далі на кожному трикутнику будуємо інтерполант. В результаті отримуємо  $v_h \in X_h^k$ .

Тоді для  $k = 1, l = 1: \|v - v_h\|_0 \leq ch^{3/2} |v|_2$ .